

大阪市立大学 正員 倉田宗章
全上 正員 の波多野昭吾

まえがき 周辺が直線からなる平板の曲げ問題に於てその形状が矩形以外の変形板についての厳密解は三角形、平行四辺形などの外にはあまり見当らないようである。この種の変形板の中まだ理論解の見当らない周辺単純支持の梯形板、山形板、更に平行四辺形板などについて一つの解法を試みたので報告する。

1. 解法の大要 相対二辺単純支持矩形板の他の二辺、又は三辺単純支持矩形板の残りの一辺に分布線荷重及び分布曲げモーメントの作用して其の解を求める。これに板内荷重の作用して既知解を重ね合せ変形板としての夫々の周辺に於ける境界条件、又は連續条件を満足せらるよう分布線荷重及び曲げモーメントに含まれている未定係数を決定し解式を完成させる方法を採つた。

2. 基本解式

図-1 の様な座標系に於て $x=0, x=a$ は單純支持されてる矩形板の $y=0$

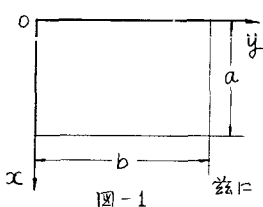


図-1

なる辺に分布線荷重 $\sum_{m=1,2,3\dots} P_m \sin \frac{m\pi x}{a}$ 及び分布モーメント $\sum_{m=1,2,3\dots} M_m \sin \frac{m\pi x}{a}$ が作用し、更に $y=b$ なる辺に分布線荷重 $\sum_{m=1,2,3\dots} P'_m \sin \frac{m\pi x}{a}$ 及び分布モーメント $\sum_{m=1,2,3\dots} M'_m \sin \frac{m\pi x}{a}$ が作用する場合の挿引を W_1 とする。

$$W_1 = \frac{a^2}{D\pi^2} \sum_{m=1,2,3\dots} \frac{1}{M_m m^2} \left\{ P_m E_m(y) + M_m f_m(y) + P'_m f'_m(y) + M'_m R_m(y) \right\} \sin \frac{m\pi x}{a} \quad (1)$$

$$E_m(y) = \left(\frac{a}{m\pi} \right) \left[\frac{(1-\nu) M_m - P(1+\nu) \tanh dm \sinh \frac{m\pi y}{a}}{1-\nu} + 2(d_m \tanh dm - dm) \cosh \frac{m\pi y}{a} \right]$$

$$- (dm \tanh dm - P \tanh dm - dm) \frac{m\pi y}{a} \sinh \frac{m\pi y}{a} - P \tanh dm \frac{m\pi y}{a} \cosh \frac{m\pi y}{a} \right]$$

$$f_m(y) = \left[\frac{(1+\nu)(P \tanh dm - dm + d_m \tanh dm)}{1-\nu} \sinh \frac{m\pi y}{a} - \frac{(1-\nu) U_m - 2P \tanh dm}{1-\nu} \cosh \frac{m\pi y}{a} \right.$$

$$\left. - P \tanh dm \frac{m\pi y}{a} \sinh \frac{m\pi y}{a} + (P \tanh dm - dm + dm \tanh dm) \frac{m\pi y}{a} \cosh \frac{m\pi y}{a} \right]$$

$$f'_m(y) = \left(\frac{a}{m\pi} \right) \frac{1}{coth dm} \left[\frac{(1+\nu) dm \tanh dm \sinh \frac{m\pi y}{a}}{(1-\nu)} + \frac{2}{(1-\nu)} (P \tanh dm + dm) \cosh \frac{m\pi y}{a} \right]$$

$$- (P \tanh dm + dm) \frac{m\pi y}{a} \sinh \frac{m\pi y}{a} + dm \tanh dm \frac{m\pi y}{a} \cosh \frac{m\pi y}{a} \right]$$

$$R_m(y) = \frac{1}{coth dm} \left[\frac{(1+\nu)(dm - P \tanh dm)}{(1-\nu)} \sinh \frac{m\pi y}{a} + \frac{2dm \tanh dm}{1-\nu} \cosh \frac{m\pi y}{a} \right.$$

$$\left. - dm \tanh dm \frac{m\pi y}{a} \sinh \frac{m\pi y}{a} + (dm - P \tanh dm) \frac{m\pi y}{a} \cosh \frac{m\pi y}{a} \right]$$

次に $y=0$ なる辺に線荷重 $\sum_{m=1,2,3\dots} P_m \sin \frac{m\pi x}{a}$ 、分布モーメント $\sum_{m=1,2,3\dots} M_m \sin \frac{m\pi x}{a}$ が作用し残りの三辺単純支持矩形板の挿引を W_2 とする。

$$W_2 = \frac{a^2}{D\pi^2} \sum_{m=1,2,3\dots} [P_m f_m(y) + M_m R_m(y)] \sin \frac{m\pi x}{a} \quad (2)$$

$$E_m(y) = \frac{a}{m^3 \pi^3 D_m} \left[\left\{ d_m (\tanh dm - coth dm) - \frac{2}{1-\nu} \right\} \sinh \frac{m\pi y}{a} \right.$$

$$\left. + \frac{2}{1-\nu} \tanh dm \cosh \frac{m\pi y}{a} - \frac{m\pi y}{a} \tanh dm \sinh \frac{m\pi y}{a} + \frac{m\pi y}{a} \cosh \frac{m\pi y}{a} \right]$$

$$f_{m,y} = \frac{1}{m^2 P_m} \left[\frac{1+\nu}{1-\nu} \coth dm \sinh \frac{m\pi y}{a} + \frac{2-\nu}{1-\nu} \cosh \frac{m\pi y}{a} - \frac{m\pi y}{a} \sinh \frac{m\pi y}{a} + \frac{m\pi y}{a} \coth dm \cosh \frac{m\pi y}{a} \right]$$

$$\nu_m = (3+\nu) - (1-\nu)dm(\tanh dm - \coth dm)$$

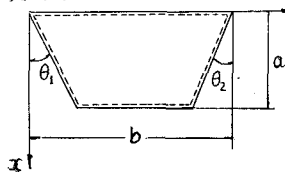
更に板内に分布荷重又は集中荷重の作用してある辺長 a, b なる四辺単純支持矩形板の挾みを w_3 とするとき

$$w_3 = (\text{周知の式なる故省略}) \quad (3)$$

3. 解法の例 (1) 又は (2) 式に含まれている未定係数を決定するための条件式の例として図 2~5 のような変形板について示すと次のようになる。

梯形板

(図-2)



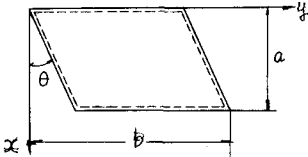
$$|w_1 + w_3|_{y=dx} = 0, |w_1 + w_3|_{y=b-\beta x} = 0$$

$$|\Delta w_1 + \Delta w_3|_{y=dx} = 0, |\Delta w_1 + \Delta w_3|_{y=b-\beta x} = 0$$

$$\alpha = \tan \theta_1, \quad \beta = \tan \theta_2$$

平行四辺形板

(図-3)



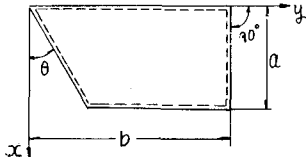
$$|w_1 + w_3|_{y=dx} = 0 \quad \alpha = \tan \theta$$

$$|\Delta w_1 + \Delta w_3|_{y=dx} = 0$$

$$P'_m = (-1)^{m-1} P_m, \quad M'_m = (-1)^{m-1} M_m$$

片梯形板

(図-4)



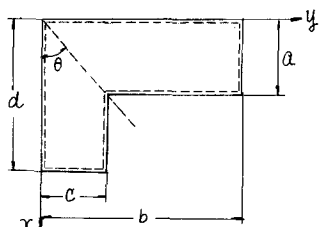
$$|w_2 + w_3|_{y=dx} = 0$$

$$|\Delta w_2 + \Delta w_3|_{y=dx} = 0$$

$$\alpha = \tan \theta$$

L 形板

(図-5)



$$|w_2 + w_3|_{y=dx} = |w'_2 + w'_3|_{y=dx} \quad (\text{挾度})$$

$$|\theta_{2y} + \theta_{3y}|_{y=dx} = |\theta'_{2y} + \theta'_{3y}|_{y=dx} \quad (y\text{方向挾角})$$

$$|M_{2y} + M_{3y}|_{y=dx} = |M'_{2y} + M'_{3y}|_{y=dx} \quad (y\text{方向モーメント})$$

$$|V_{2y} + V_{3y}|_{y=dx} = |V'_{2y} + V'_{3y}|_{y=dx} \quad (y\text{方向換算剪断力})$$

茲に w'_2 は (2) 式に於て $x \leq y, a \leq c, b \leq d, P_m \leq P'_m, M_m \leq M'_m$ を入此かえり, w'_3 は (3) 式に於て $x \leq y, a \leq c, b \leq d$ を入此かえて示され此の挾度式である。

4. 計算例

このような解法の可能性を確かめるため図-4 に示すような梯形板について数値計算を行ひ中央線上の挾みを求めてみると右図のようになる。辺長 a の正方形板及び辺長 $a:1.5a$ の矩形板と比較すると梯形板の傾向が出ており妥当なものと考えられる。

- 梯形板
- - - 正方形板
(辺長 a)
- - - 矩形板
(辺長 $a:1.5a$)

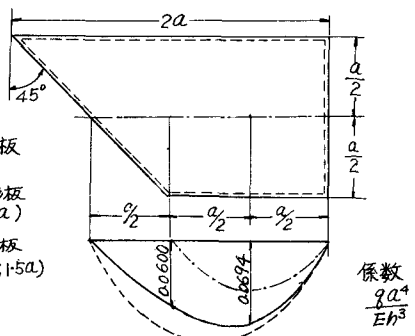


図-6 中心線断面挾度曲線